

Classificações topológicas reveladas pelo fluxo de Ricci

Matheus Andrade Ribeiro de Moura Horácio

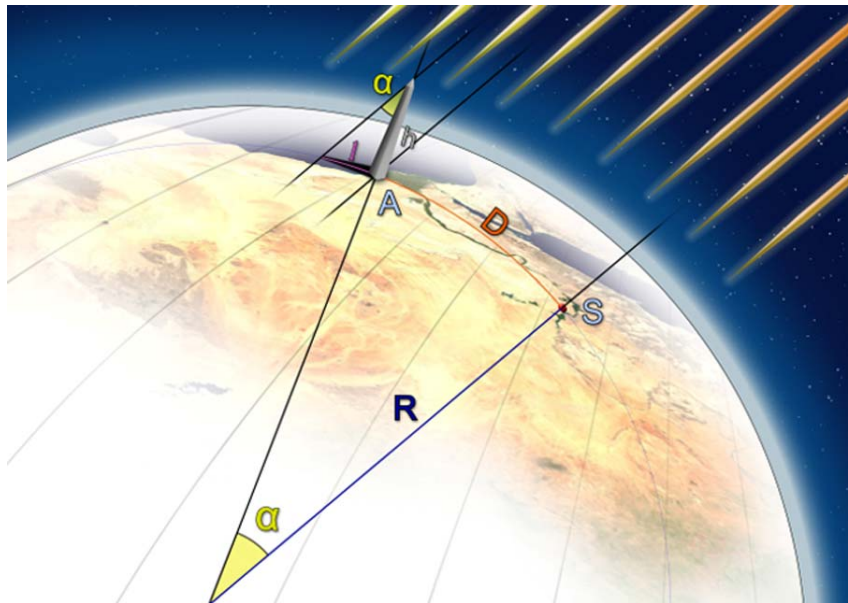
03 de agosto de 2022

- 1 Geometria e cosmologia: o começo
- 2 Classificações topológicas
- 3 O fluxo de Ricci
- 4 Referências

Eratóstenes: o homem que mediu o mundo

- “Geometria” vem do grego e significa “medir” a Terra. A primeira pessoa que temos registro de fazer isso foi o grande astrônomo e matemático grego Eratóstenes, há mais de 2200 anos.

Eratóstenes: o homem que mediu o mundo



Os primeiros cosmólogos

- A “forma” da Terra, porém, era um assunto de interesse aos antigos gregos séculos antes de Eratóstenes.



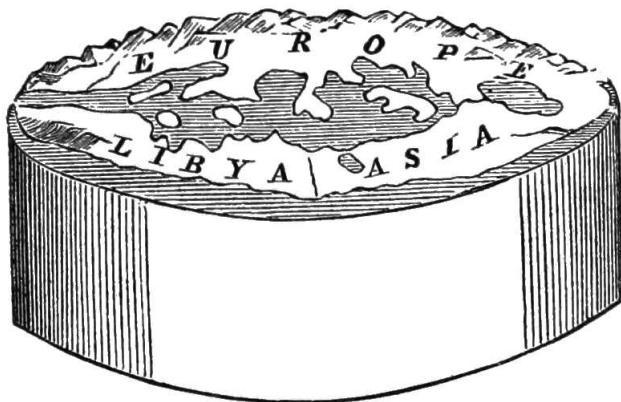
Os primeiros cosmólogos

- A “forma” da Terra, porém, era um assunto de interesse aos antigos gregos séculos antes de Eratóstenes.
- Tales de Mileto acreditava que a Terra era um disco plano flutuando num oceano gigante.



Os primeiros cosmólogos

- Por outro lado, Anaximandro, discípulo de Tales, pensava que a Terra tinha a forma de um cilindro, onde os continentes estavam localizados numa de suas faces circulares.



- De modo geral, podemos perguntar quais são todas as formas possíveis que a Terra poderia assumir. Nos limitando somente à perspectiva matemática abstrata (ou seja, sem nos preocuparmos na existência de leis físicas que constituam obstruções à possíveis formatos), tal pergunta admite a seguinte formalização:

- De modo geral, podemos perguntar quais são todas as formas possíveis que a Terra poderia assumir. Nos limitando somente à perspectiva matemática abstrata (ou seja, sem nos preocuparmos na existência de leis físicas que constituam obstruções à possíveis formatos), tal pergunta admite a seguinte formalização:

Pergunta

Quais são todas as topologias possíveis de uma superfície fechada?

- De modo geral, podemos perguntar quais são todas as formas possíveis que a Terra poderia assumir. Nos limitando somente à perspectiva matemática abstrata (ou seja, sem nos preocuparmos na existência de leis físicas que constituam obstruções à possíveis formatos), tal pergunta admite a seguinte formalização:

Pergunta

Quais são todas as topologias possíveis de uma superfície fechada?

- Por “fechada”, queremos dizer *compacta e sem bordo*.

- Podemos ir ainda além e indagar:

- Podemos ir ainda além e indagar:

Pergunta

Qual é a “melhor” métrica que uma superfície fechada qualquer admite?

- Podemos ir ainda além e indagar:

Pergunta

Qual é a “melhor” métrica que uma superfície fechada qualquer admite?

- Veremos que essas duas perguntas estão intimamente relacionadas.

- Nas palavras de Carl Sagan, o Cosmos é tudo o que existe, existiu ou existirá.

- Nas palavras de Carl Sagan, o Cosmos é tudo o que existe, existiu ou existirá.
- A teoria da relatividade geral de Einstein modela o Cosmos como uma variedade pseudo-Riemanniana de dimensão 4, cuja geometria local é descrita pela seguinte equação:

$$\text{Ric} - \frac{1}{2} \cdot \text{Scal} \cdot g + \Lambda g = \frac{8\pi G}{c^4} T$$

- Sendo assim, podemos muito bem perguntar: dada uma fibração do Cosmos por “fatias temporais” tri-dimensionais, quais são todas as topologias e geometrias possíveis de tais fatias?

- Em dimensão ≤ 3 ,

classificações topológicas \iff classificações diferenciáveis

Para mais detalhes, consulte [1]. Podemos então reformalizar os problemas anteriores da seguinte maneira:

Pergunta

Para cada $n \leq 3$, existe um conjunto finito \mathcal{F}_τ^n de classes de equivalência de variedades diferenciáveis tal que toda variedade diferenciável fechada M^n satisfaz $[M] \in \mathcal{F}_\tau^n$?

Pergunta

Para cada $n \leq 3$, existe um conjunto finito \mathcal{F}_τ^n de classes de equivalência de variedades diferenciáveis tal que toda variedade diferenciável fechada M^n satisfaz $[M] \in \mathcal{F}_\tau$?

Pergunta

Para cada $n \leq 3$, existe um conjunto finito \mathcal{F}_g^n de classes de equivalência de métricas Riemannianas tal que toda variedade diferenciável fechada admite g_M satisfazendo $[g_M] \in \mathcal{F}_\tau$?

- Qualquer variedade (conexa) de dimensão 1 sem bordo é difeomorfa ou ao círculo \mathbb{S}^1 ou à reta real \mathbb{R} . A presença de bordo introduz os casos adicionais $[0, 1]$ e $[0, 1)$. Compacidade e a presença de bordo são portanto invariantes topológicos que juntos determinam completamente variedades de dimensão 1.

- Qualquer variedade (conexa) de dimensão 1 sem bordo é difeomorfa ou ao círculo \mathbb{S}^1 ou à reta real \mathbb{R} . A presença de bordo introduz os casos adicionais $[0, 1]$ e $[0, 1)$. Compacidade e a presença de bordo são portanto invariantes topológicos que juntos determinam completamente variedades de dimensão 1.
- Geometrização em dimensão 1 é portanto trivial. Não existe um invariante geométrico intrínseco que distinga duas variedades quaisquer de dimensão 1.

- Dadas duas superfícies fechadas \mathcal{M} e \mathcal{N} , existe uma maneira de construir uma superfície nova chamada da *soma conexa* de \mathcal{M} e \mathcal{N} , que denotaremos por $\mathcal{M}\sharp\mathcal{N}$.

Dimensão 2: superfícies

- Dadas duas superfícies fechadas \mathcal{M} e \mathcal{N} , existe uma maneira de construir uma superfície nova chamada da *soma conexa* de \mathcal{M} e \mathcal{N} , que denotaremos por $\mathcal{M}\sharp\mathcal{N}$.
- Escolhemos duas bolas V_1, V_2 , em \mathcal{M} e \mathcal{N} respectivamente, pequenas o suficiente de forma a serem homeomorfas a discos. Em seguida removemos o interior dessas duas bolas, resultando em dois bordos ∂V_1 e ∂V_2 homeomorfos a \mathbb{S}^1 . Ao identificar esses bordos, obtemos uma nova superfície conexa.

A soma conexa de duas superfícies

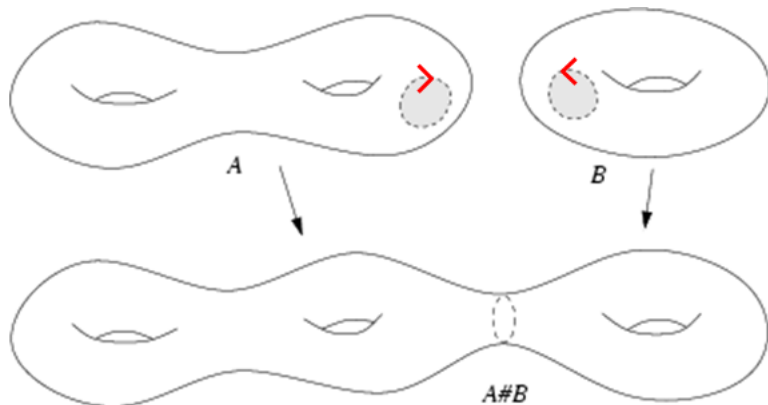


Figura: a soma conexa de um toro com um bi-toro

A soma conexa de duas superfícies

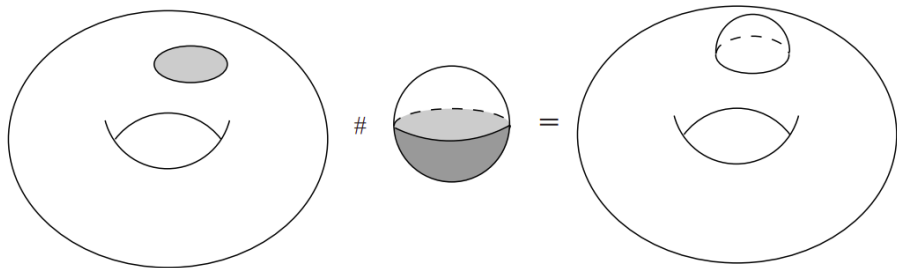


Figura: a soma conexa com uma esfera

Representações poligonais

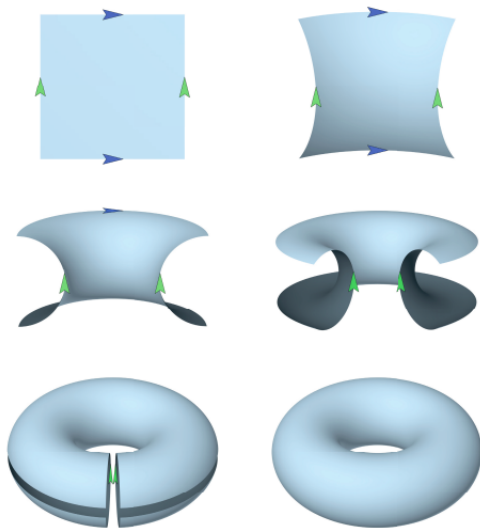
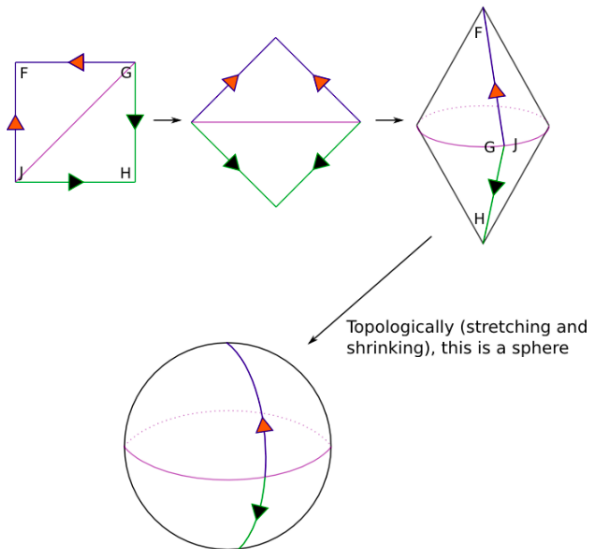
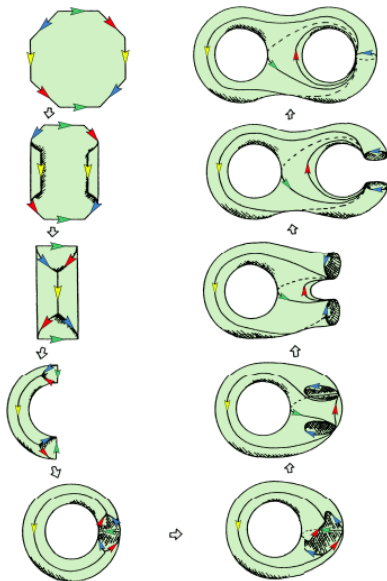


Figura: a representação poligonal de um toro

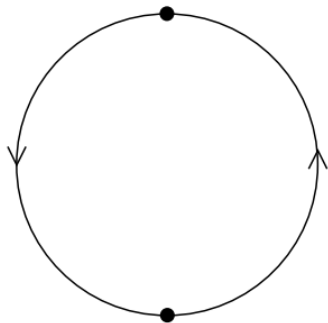
Representações poligonais



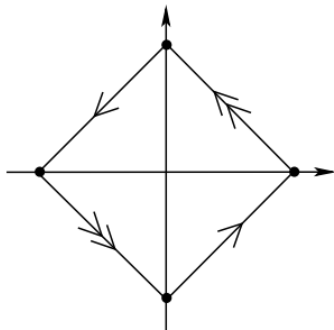
Representações poligonais



Representações poligonais



(a)



(b)

Figura: representações do plano projetivo \mathbb{RP}^2

Dimensão 2: superfícies

É possível mostrar que toda superfície compacta admite uma representação poligonal. Em geral, temos também a seguinte:

A classificação de superfícies fechadas

Toda variedade bi-dimensional \mathcal{M}^2 conexa e fechada é homeomorfa a exatamente um dos seguintes espaços:

Dimensão 2: superfícies

É possível mostrar que toda superfície compacta admite uma representação poligonal. Em geral, temos também a seguinte:

A classificação de superfícies fechadas

Toda variedade bi-dimensional \mathcal{M}^2 conexa e fechada é homeomorfa a exatamente um dos seguintes espaços:

- a esfera \mathbb{S}^2

É possível mostrar que toda superfície compacta admite uma representação poligonal. Em geral, temos também a seguinte:

A classificação de superfícies fechadas

Toda variedade bi-dimensional \mathcal{M}^2 conexa e fechada é homeomorfa a exatamente um dos seguintes espaços:

- a esfera \mathbb{S}^2
- a soma conexa finita de uma ou mais cópias do toro $\mathbb{T}^2 = \mathbb{S}^1 \times \mathbb{S}^1$

É possível mostrar que toda superfície compacta admite uma representação poligonal. Em geral, temos também a seguinte:

A classificação de superfícies fechadas

Toda variedade bi-dimensional \mathcal{M}^2 conexa e fechada é homeomorfa a exatamente um dos seguintes espaços:

- *a esfera \mathbb{S}^2*
- *a soma conexa finita de uma ou mais cópias do toro $\mathbb{T}^2 = \mathbb{S}^1 \times \mathbb{S}^1$*
- *a soma conexa finita de uma ou mais cópias do plano projetivo \mathbb{RP}^2*

Dimensão 2: superfícies

- O número g de toros presentes na decomposição de \mathcal{M} é chamado do *gênero* de \mathcal{M} .

Dimensão 2: superfícies

- O número g de toros presentes na decomposição de \mathcal{M} é chamado do *gênero* de \mathcal{M} .
- A característica de Euler é um invariante topológico que justifica o “exatamente” citado na classificação anterior. Ela e a orientabilidade são invariantes topológicos que determinam completamente a topologia de uma superfície fechada.

Dimensão 2: superfícies

- O número g de toros presentes na decomposição de \mathcal{M} é chamado do *gênero* de \mathcal{M} .
- A característica de Euler é um invariante topológico que justifica o “exatamente” citado na classificação anterior. Ela e a orientabilidade são invariantes topológicos que determinam completamente a topologia de uma superfície fechada.
- Na busca de invariantes topológicos em dimensões mais altas, Poincaré descobriu o grupo fundamental.

E quanto à geometria?

Um dos teoremas fundamentais no estudo de superfícies é o seguinte:

Teorema da uniformização

Toda superfície fechada \mathcal{M}^2 admite uma métrica Riemanniana de curvatura seccional constante.

Consequentemente, toda superfície compacta é difeomorfa a exatamente um quociente de uma das três seguintes geometrias modelo: \mathbb{S}^2 , \mathbb{R}^2 e \mathbb{H}^2 . A topologia e geometria se relacionam pelo teorema de Gauss-Bonnet:

$$\int_{\mathcal{M}^2} K \, dA = 2\pi \cdot \chi(\mathcal{M}^2)$$

Como uniformizar superfícies com gênero?

- Podemos definir uma métrica de curvatura zero no toro ao “descer” a métrica do recobrimento \mathbb{R}^2 ao toro \mathbb{T}^2 .

Como uniformizar superfícies com gênero?

- Podemos definir uma métrica de curvatura zero no toro ao “descer” a métrica do recobrimento \mathbb{R}^2 ao toro \mathbb{T}^2 .
- E porque não podemos fazer o mesmo para n -toros com $n \geq 2$? A resposta é que os ângulos da geometria Euclidiana são “gordos” demais:

$$(4g - 2)\pi > 2\pi \quad \forall g \geq 2$$

Como uniformizar superfícies com gênero

- Podemos consertar tal problema ao considerar a geometria hiperbólica. No disco de Poincaré, a soma dos ângulos internos de um polígono hiperbólico é dada por

$$(4g - 2)\pi - A$$

onde A denota a área do polígono. Portanto existem polígonos hiperbólicos de ângulos internos $\frac{2\pi}{4g}$, de forma que toda superfície fechada de gênero n admite uma métrica hiperbólica.

Como uniformizar superfícies com gênero

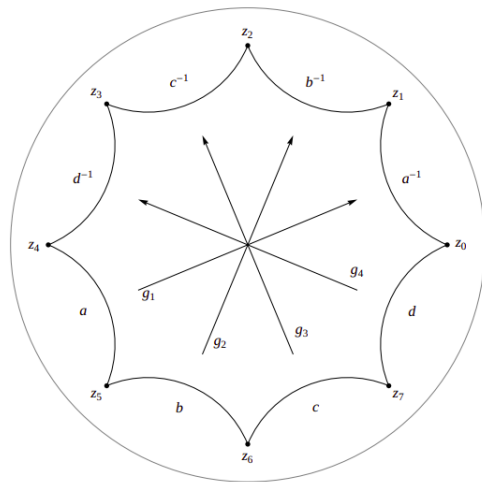


Figura: octágono hiperbólico com identificações rotuladas que geram o bi-toro com geometria hiperbólica

Dimensão 3

Antes de abordarmos o caso de dimensão 3, vamos tentar visualizar alguns exemplos.

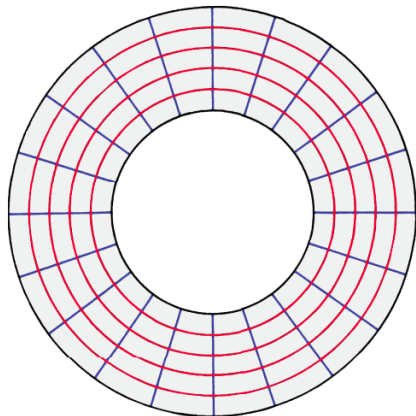


Figura: visualização plana de $\mathbb{S}^1 \times [0, 1]$

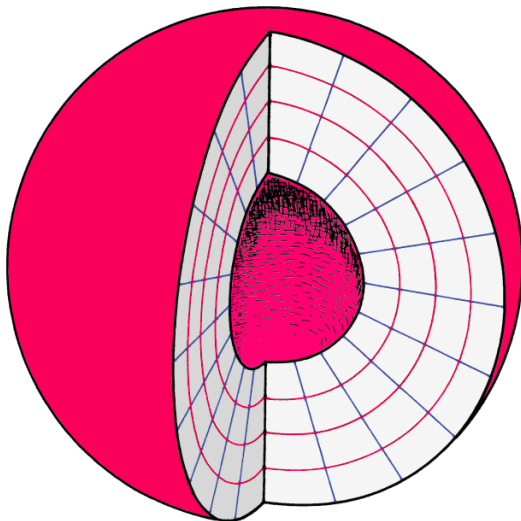


Figura: visualização de $\mathbb{S}^2 \times [0, 1]$

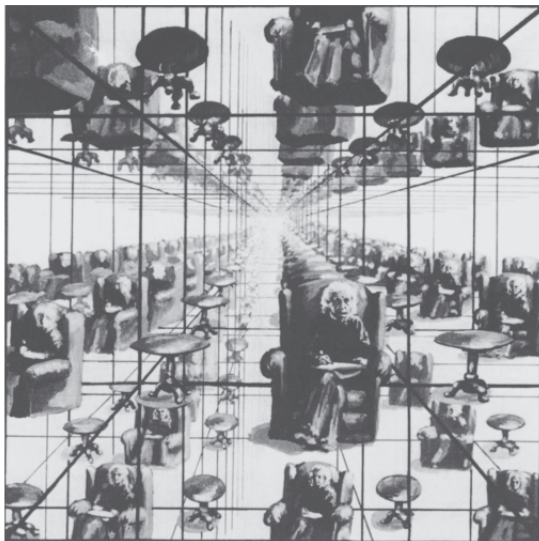


Figura: visão num universo modelado pelo toro \mathbb{T}^3

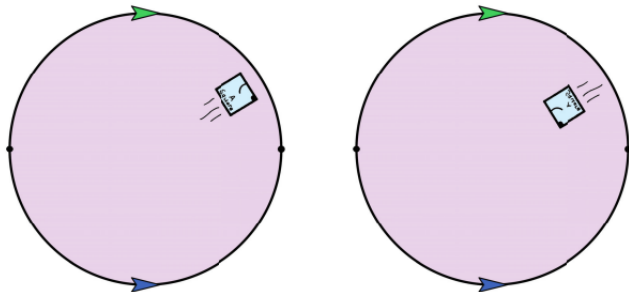


Figura: visualização plana de \mathbb{S}^2 como dois discos colados ao longo do bordo \mathbb{S}^1

Dimensão 3

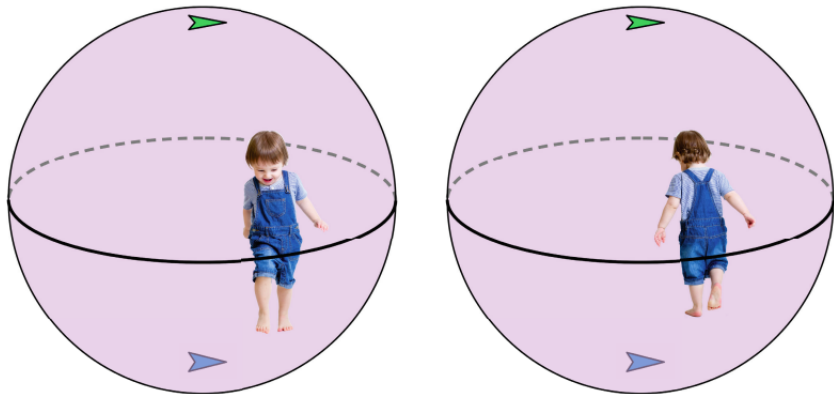


Figura: visualização de S^3 como duas bolas colados ao longo do bordo S^2

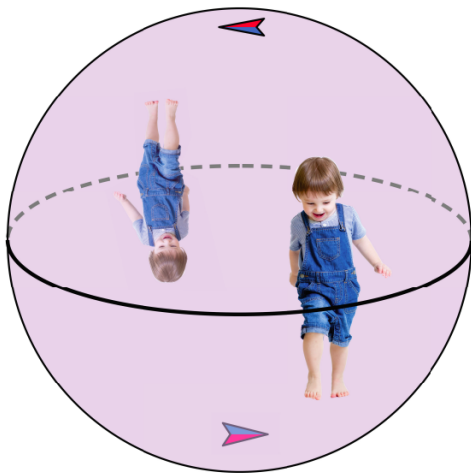


Figura: visualização de \mathbb{RP}^3 como a esfera S^2 com pontos antípodas identificados



Figura: visualização do dodecaedro de Poincaré

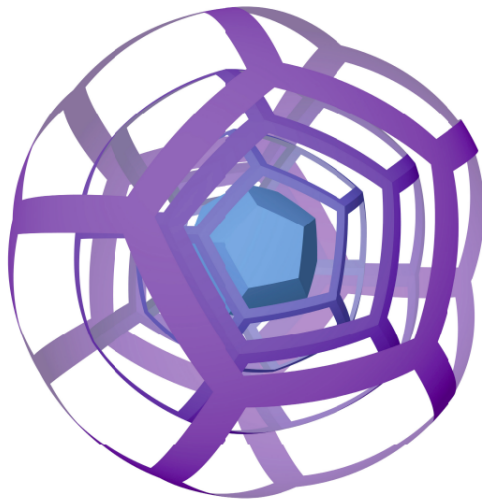


Figura: geometria esférica do dodecaedro de Poincaré

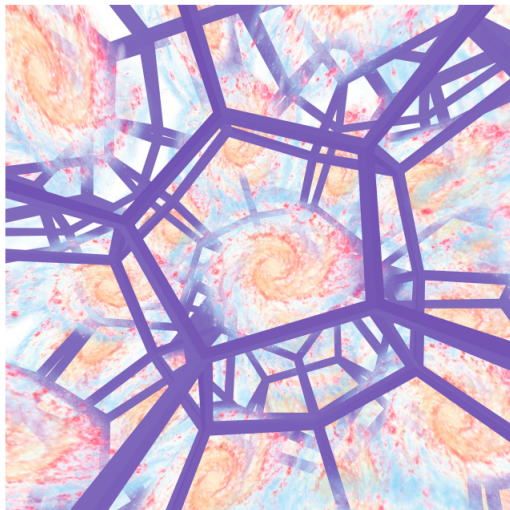


Figura: visão dentro dum universo de uma só galáxia modelado pelo dodecaedro de Poincaré

A conjectura da geometrização de Thurston

- Em dimensão 3, ainda temos as três geometrias-modelo de curvatura constante - a saber, \mathbb{S}^3 , \mathbb{R}^3 e \mathbb{H}^3 . Mas não há esperança de uma classificação tão boa quanto em dimensão 2: de fato, existem infinitas variedades tri-dimensionais que não admitem nenhuma métrica de curvatura seccional constante.

A conjectura da geometrização de Thurston

Cinco outras geometrias-modelos surgem de produtos cartesianos ou “torcidos” de geometrias de dimensão mais baixa:

- o produto $\mathbb{S}^2 \times \mathbb{R}$

Visualizações fiéis tri-dimensionais de tais geometrias são impossíveis. Bastante imaginação de certa forma contorna esse problema, como pode ser visto em [\[12\]](#).

A conjectura da geometrização de Thurston

Cinco outras geometrias-modelos surgem de produtos cartesianos ou “torcidos” de geometrias de dimensão mais baixa:

- o produto $\mathbb{S}^2 \times \mathbb{R}$
- o produto $\mathbb{H}^2 \times \mathbb{R}$

Visualizações fiéis tri-dimensionais de tais geometrias são impossíveis. Bastante imaginação de certa forma contorna esse problema, como pode ser visto em [\[12\]](#).

A conjectura da geometrização de Thurston

Cinco outras geometrias-modelos surgem de produtos cartesianos ou “torcidos” de geometrias de dimensão mais baixa:

- o produto $\mathbb{S}^2 \times \mathbb{R}$
- o produto $\mathbb{H}^2 \times \mathbb{R}$
- o recobrimento universal $\widetilde{SL}(2, \mathbb{R})$ (um fibrado torcido sobre \mathbb{H}^2)

Visualizações fiéis tri-dimensionais de tais geometrias são impossíveis. Bastante imaginação de certa forma contorna esse problema, como pode ser visto em [12].

A conjectura da geometrização de Thurston

Cinco outras geometrias-modelos surgem de produtos cartesianos ou “torcidos” de geometrias de dimensão mais baixa:

- o produto $\mathbb{S}^2 \times \mathbb{R}$
- o produto $\mathbb{H}^2 \times \mathbb{R}$
- o recobrimento universal $\widetilde{SL}(2, \mathbb{R})$ (um fibrado torcido sobre \mathbb{H}^2)
- o grupo de Heisenberg (um fibrado torcido sobre \mathbb{R}^2); e

Visualizações fiéis tri-dimensionais de tais geometrias são impossíveis. Bastante imaginação de certa forma contorna esse problema, como pode ser visto em [\[12\]](#).

A conjectura da geometrização de Thurston

Cinco outras geometrias-modelos surgem de produtos cartesianos ou “torcidos” de geometrias de dimensão mais baixa:

- o produto $\mathbb{S}^2 \times \mathbb{R}$
- o produto $\mathbb{H}^2 \times \mathbb{R}$
- o recobrimento universal $\widetilde{SL}(2, \mathbb{R})$ (um fibrado torcido sobre \mathbb{H}^2)
- o grupo de Heisenberg (um fibrado torcido sobre \mathbb{R}^2); e
- a variedade Sol (um \mathbb{T}^2 -fibrado torcido sobre \mathbb{S}^1)

Visualizações fiéis tri-dimensionais de tais geometrias são impossíveis. Bastante imaginação de certa forma contorna esse problema, como pode ser visto em [\[12\]](#).

- A conjectura da geometrização de Thurston afirma que toda 3-variedade fechada pode ser apropriadamente decomposta de maneira que cada pedaço da decomposição admita uma das geometrias citadas anteriormente. Mais precisamente,

- A conjectura da geometrização de Thurston afirma que toda 3-variedade fechada pode ser apropriadamente decomposta de maneira que cada pedaço da decomposição admita uma das geometrias citadas anteriormente. Mais precisamente,

A conjectura da geometrização de Thurston

Seja \mathcal{M}^3 uma variedade fechada, orientável e prima. Então existe um mergulho de uma união disjuntas de toros e garrafas de Klein $\sqcup_i T_i^2 \subset \mathcal{M}$ tal que cada componente do complemento admite uma métrica Riemanniana localmente homogênea e de volume finito.

- Dizemos que uma superfície fechada $S \subset \mathcal{M}^3$ de gênero $g \geq 1$ é incompressível se existe uma injeção de seu grupo fundamental $\pi_1(S)$ no grupo fundamental $\pi_1(\mathcal{M}^3)$ de \mathcal{M}^3 .

- Dizemos que uma superfície fechada $S \subset \mathcal{M}^3$ de gênero $g \geq 1$ é incompressível se existe uma injeção de seu grupo fundamental $\pi_1(S)$ no grupo fundamental $\pi_1(\mathcal{M}^3)$ de \mathcal{M}^3 .
- Pode-se provar que toros e garrafas de Klein são incompressíveis. Uma reformalização da conjectura é então que existe uma decomposição de \mathcal{M}^3 ao longo de toros e garrafas de Klein incompressíveis em pedaços cujos interiores admitem métricas localmente homogêneas de volume finito.

- 3-variedades fechadas de grupo fundamental finito não têm toros ou garrafas de Klein incompressíveis e portanto tal decomposição é trivial. Como a única geometria modelo compacta é \mathbb{S}^3 , concluímos que se $\pi_1(\mathcal{M}^3)$ é finito então o recobrimento universal de \mathcal{M}^3 é a esfera. *A fortiori*,

geometrização \implies conjectura de Poincaré

A conjectura da geometrização de Thurston

- Thurston verificou que uma grande classe de variedades, chamadas *variedades de Haken*, satisfazia sua conjectura.

A conjectura da geometrização de Thurston

- Thurston verificou que uma grande classe de variedades, chamadas *variedades de Haken*, satisfazia sua conjectura.
- Tal trabalho foi importantíssimo. Nas palavras de John Morgan,

A conjectura da geometrização de Thurston

- Thurston verificou que uma grande classe de variedades, chamadas *variedades de Haken*, satisfazia sua conjectura.
- Tal trabalho foi importantíssimo. Nas palavras de John Morgan,

A importância do trabalho de Thurston

“Na minha perspectiva, antes do trabalho de Thurston em 3-variedades hiperbólicas e sua formalização da Conjectura da Geometrização, não havia consenso entre os especialistas quanto à validade da conjectura de Poincaré. Depois do trabalho de Thurston (não obstante o fato de que o mesmo não tinha nenhuma consequência direta à Conjectura de Poincaré), se desenvolveu um consenso de que ambas a Conjectura de Poincaré e a Conjectura da Geometrização eram verdadeiras.”

- Comece com uma 3-variedade fechada arbitrária munida de uma métrica qualquer. Onde a curvatura for grande, deforme a métrica para que a mesma diminua, e onde for pequena, deforme para que aumente. A princípio, o melhor que se pode esperar é que a deformação deixe a variedade inicial com uma geometria “uniforme”, de curvatura constante. Mas qual curvatura considerar?

$$\frac{\partial}{\partial t}g = ?$$

- Em dimensão 3, Ric determina Rm. É natural então considerar

$$\frac{\partial}{\partial t}g = c \cdot \text{Ric}$$

para alguma constante $c \neq 0$.

- Uma vez que

$$\begin{aligned} -2 \cdot \text{Ric}_{jk} &= -2 \left\{ \text{Rm}_{pj k}^p \right\} \\ &= -2 \left\{ \partial_p \Gamma_{jk}^p - \partial_j \Gamma_{pk}^p + \Gamma_{jk}^q \Gamma_{pq}^p - \Gamma_{pk}^q \Gamma_{jq}^p \right\} \\ &= -\partial_p \left\{ g^{pq} (\partial_j g_{kq} + \partial_k g_{jq} - \partial_q g_{jk}) \right\} \\ &\quad + \partial_j \left\{ g^{pq} (\partial_p g_{kq} + \partial_k g_{pq} - \partial_q g_{kp}) \right\} + \left\{ -2\Gamma_{jk}^q \Gamma_{pq}^p + 2\Gamma_{pk}^q \Gamma_{jq}^p \right\} \\ &= \dots \\ &= \Delta g_{jk} + Q \left(\partial g, g^{-1} \right) \end{aligned}$$

a escolha natural é $c = -2$.

- Consideraremos então a equação

$$\frac{\partial}{\partial t}g = -2 \cdot \text{Ric}_{g(t)}$$

- Consideraremos então a equação

$$\frac{\partial}{\partial t}g = -2 \cdot \text{Ric}_{g(t)}$$

- Hamilton mostrou o sucesso da estratégia descrita anteriormente em dimensão 2. Apesar da sua prova original usar o teorema da uniformização, tal dependência foi removida por Chen-Lu-Tian em [5], de forma que o fluxo pode ser usado para provar o teorema da uniformização.

Exemplos

- Suponha que (\mathcal{M}, g_0) é Einstein, de forma que $\text{Ric}_{ij}(p, 0) = \lambda g_{ij}(p, 0)$ para todo $p \in \mathcal{M}$, onde λ é uma constante. Fazendo o palpite de que $g_{ij}(x, t) = \rho^2(t)g_{ij}(x, 0)$ vemos que $\text{Ric}_{ij}(p, t) = \text{Ric}_{ij}(p, 0) = \lambda g_{ij}(p, 0)$.

Exemplos

- Suponha que (\mathcal{M}, g_0) é Einstein, de forma que $\text{Ric}_{ij}(p, 0) = \lambda g_{ij}(p, 0)$ para todo $p \in \mathcal{M}$, onde λ é uma constante. Fazendo o palpite de que $g_{ij}(x, t) = \rho^2(t)g_{ij}(x, 0)$ vemos que $\text{Ric}_{ij}(p, t) = \text{Ric}_{ij}(p, 0) = \lambda g_{ij}(p, 0)$.
- Nesse caso, a equação do fluxo de Ricci se escreve então como:

$$\frac{\partial}{\partial t} \left(\rho^2(t)g_{ij}(p, 0) \right) = -2\lambda g_{ij}(x, 0)$$

que nos dá a EDO

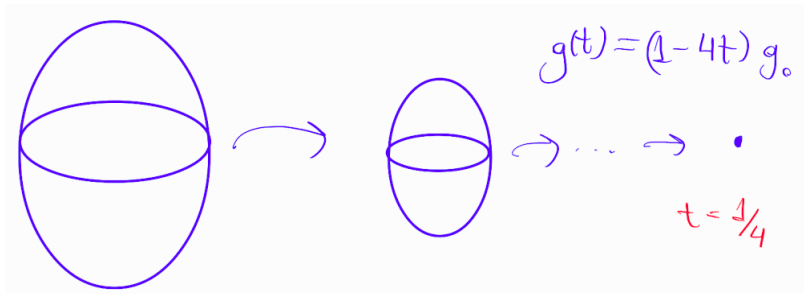
$$\frac{d\rho}{dt} = -\frac{\lambda}{\rho}$$

cuja solução é dada por

$$\rho^2(t) = 1 - 2\lambda t$$

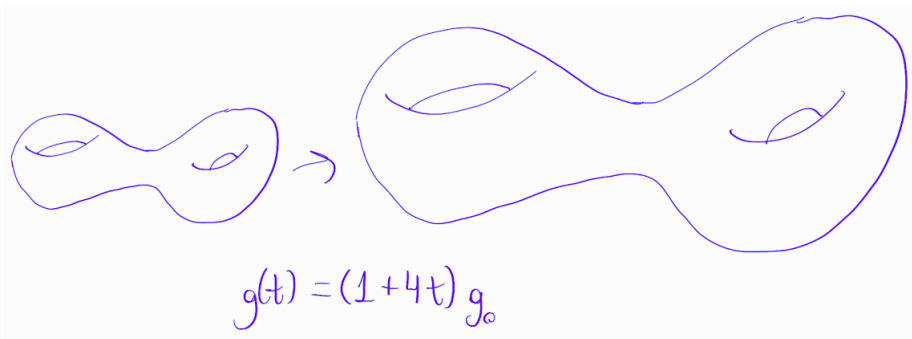
Exemplos

- Em particular, uma esfera encolhe a um ponto em tempo finito e sua curvatura “explode” perto do tempo de singularidade.



Exemplos: variedades de Einstein

- Por outro lado, em uma variedade \mathbb{H}^3/Γ de curvatura negativa constante, o fluxo simplesmente expande a variedade sem nunca “explodir”.



Exemplos: os sólitons de Ricci

- Um sólton de Ricci é uma variedade Riemanniana (\mathcal{M}, g) que admite um campo vetorial X tal que

$$\text{Ric}_g + \frac{1}{2}\mathcal{L}_X g = \lambda g$$

para alguma constante $\lambda \in \mathbb{R}$.

Exemplos: os sólitons de Ricci

- Um sólito de Ricci é uma variedade Riemanniana (\mathcal{M}, g) que admite um campo vetorial X tal que

$$\text{Ric}_g + \frac{1}{2}\mathcal{L}_X g = \lambda g$$

para alguma constante $\lambda \in \mathbb{R}$.

- Quando existe $f \in C^\infty(\mathcal{M})$ tal que $X = \nabla f$, tal equação se escreve como

$$\text{Ric} + \text{Hess}(f) = \lambda g$$

Exemplos: os sólitons de Ricci

- Um sólton de Ricci é uma variedade Riemanniana (\mathcal{M}, g) que admite um campo vetorial X tal que

$$\text{Ric}_g + \frac{1}{2}\mathcal{L}_X g = \lambda g$$

para alguma constante $\lambda \in \mathbb{R}$.

- Quando existe $f \in C^\infty(\mathcal{M})$ tal que $X = \nabla f$, tal equação se escreve como

$$\text{Ric} + \text{Hess}(f) = \lambda g$$

- Sólitons são soluções autossimilares: sob o fluxo de Ricci, eles encolhem, expandem homoteticamente ou permanecem “firmes” (steady).

Os primeiros resultados de Hamilton

- **Existência a curto prazo e unicidade.** Se (\mathcal{M}, g_0) é uma variedade Riemanniana compacta, existe $\varepsilon > 0$ dependendo somente de g_0 e uma única solução $g(t)$ do fluxo de Ricci definida para $t \in [0, \varepsilon)$ com $g(0) = g_0$.

Os primeiros resultados de Hamilton

- **Existência a curto prazo e unicidade.** Se (\mathcal{M}, g_0) é uma variedade Riemanniana compacta, existe $\varepsilon > 0$ dependendo somente de g_0 e uma única solução $g(t)$ do fluxo de Ricci definida para $t \in [0, \varepsilon)$ com $g(0) = g_0$.
- **Caracterização da formação de singularidades pela curvatura.** Se a solução do fluxo existe num intervalo temporal $[0, T)$ mas não se estende a nenhum intervalo maior $[0, T + \delta)$ com $\delta > 0$, então existe um ponto $x \in \mathcal{M}$ tal que o tensor curvatura $\text{Rm}(x, t)$ da métrica $g(t)$ “explode”, i.e

$$\lim_{t \rightarrow T^-} \left(\sup_{x \in \mathcal{M}} \|\text{Rm}(x, t)\| \right) = \infty$$

Os primeiros resultados de Hamilton

- **Existência a curto prazo e unicidade.** Se (\mathcal{M}, g_0) é uma variedade Riemanniana compacta, existe $\varepsilon > 0$ dependendo somente de g_0 e uma única solução $g(t)$ do fluxo de Ricci definida para $t \in [0, \varepsilon)$ com $g(0) = g_0$.
- **Caracterização da formação de singularidades pela curvatura.** Se a solução do fluxo existe num intervalo temporal $[0, T)$ mas não se estende a nenhum intervalo maior $[0, T + \delta)$ com $\delta > 0$, então existe um ponto $x \in \mathcal{M}$ tal que o tensor curvatura $\text{Rm}(x, t)$ da métrica $g(t)$ “explode”, i.e

$$\lim_{t \rightarrow T^-} \left(\sup_{x \in \mathcal{M}} \|\text{Rm}(x, t)\| \right) = \infty$$

- A positividade do operador curvatura $\text{Rm} : \Lambda^2(\mathcal{M}) \rightarrow \Lambda^2(\mathcal{M})$ é preservada pelo fluxo.

- A noção de que sob o fluxo a métrica deve “convergir” a uma métrica de curvatura constante precisa ser formalizada.

- A noção de que sob o fluxo a métrica deve “convergir” a uma métrica de curvatura constante precisa ser formalizada.
- O fluxo pode encontrar singularidades do tipo

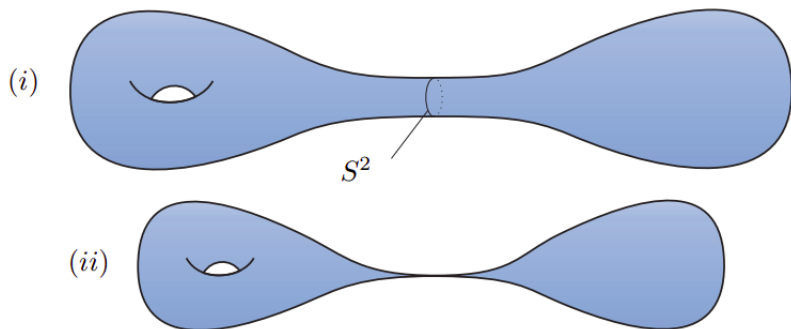


Figure 1.6: Neck pinch

- Para contornar esse problema, Hamilton teve a ideia de fazer “cirurgias” na variedade e logo após retomar o fluxo

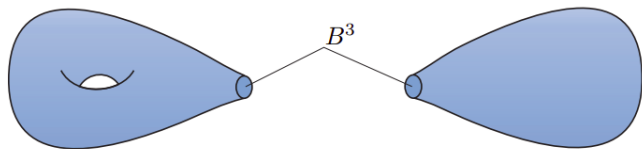


Figure 1.7: Surgery

- Para contornar esse problema, Hamilton teve a ideia de fazer “cirurgias” na variedade e logo após retomar o fluxo

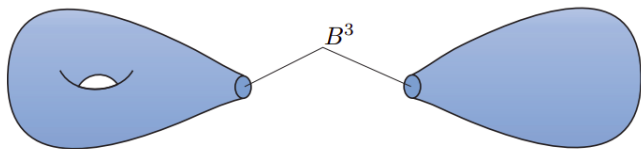


Figure 1.7: Surgery

- Hamilton não conseguiu mostrar que tal processo não fica preso numa situação do tipo do paradoxo de Zeno. Perelman introduziu noções de cirurgia que evitavam tal situação.

O primeiro avanço significativo

- O primeiro indício de que o plano de ataque via o fluxo de Ricci descrito anteriormente era promissor foi o seguinte resultado, obtido originalmente por Hamilton:

O primeiro avanço significativo

- O primeiro indício de que o plano de ataque via o fluxo de Ricci descrito anteriormente era promissor foi o seguinte resultado, obtido originalmente por Hamilton:

Um caso muito particular da conjectura de Poincaré

Seja \mathcal{M}^3 uma 3-variedade diferenciável fechada que admite uma métrica Riemanniana de curvatura de Ricci estritamente positiva. Então o recobrimento universal de \mathcal{M} é \mathbb{S}^3 . Em particular, se \mathcal{M} é simplesmente conexa, então \mathcal{M} é \mathbb{S}^3 .

O primeiro avanço significativo

- O primeiro indício de que o plano de ataque via o fluxo de Ricci descrito anteriormente era promissor foi o seguinte resultado, obtido originalmente por Hamilton:

Um caso muito particular da conjectura de Poincaré

Seja \mathcal{M}^3 uma 3-variedade diferenciável fechada que admite uma métrica Riemanniana de curvatura de Ricci estritamente positiva. Então o recobrimento universal de \mathcal{M} é \mathbb{S}^3 . Em particular, se \mathcal{M} é simplesmente conexa, então \mathcal{M} é \mathbb{S}^3 .

- Para abordarmos a demonstração desse resultado, precisaremos de algumas noções preliminares antes. A ideia é evoluir a métrica inicial de forma que a sua curvatura de Ricci seja “pinçada” e convirja a uma métrica de curvatura de Ricci constante.

O primeiro avanço significativo

Usando o princípio do máximo, podemos mostrar o seguinte resultado

“Explosão” uniforme da curvatura

Suponha que $g(t)$ é um fluxo de Ricci numa variedade fechada \mathcal{M} , que existe num intervalo $t \in [0, T]$. Se $\text{Scal} \geq \delta > 0$ no instante inicial $t = 0$, então vale que

$$\text{Scal} \geq \frac{\delta}{1 - \left(\frac{2\delta}{n}\right)t}$$

Em particular, se o fluxo é definido em $[0, T)$ e $\text{Scal} \geq \delta > 0$ no instante inicial $t = 0$, então $T \leq \frac{n}{2\delta}$.

A estratégia

Iremos aplicar mudanças de escala (ou “inflações”) na variedade a fim de diminuir a curvatura. A análise do que acontece em tal limite inflacionário nos permitirá identificar a topologia de \mathcal{M}^3 .

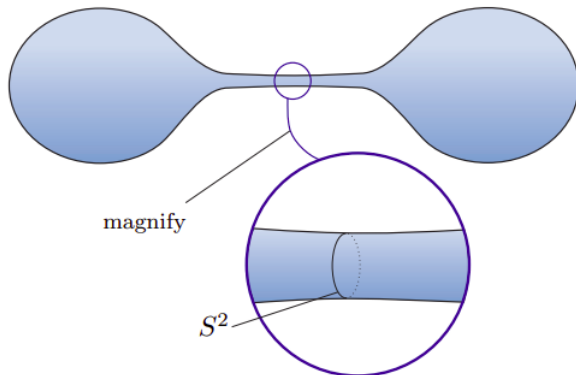


Figure 1.4: Blowing up.

- Uma exaustão de uma variedade \mathcal{M} é uma sequência de abertos $(U_k)_{k \in \mathbb{N}}$ tais que $\overline{U_k}$ é compacto, $\overline{U_k} \subset U_{k+1} \forall k$ e $\bigcup_{k \in \mathbb{N}} U_k = \mathcal{M}$.

Convergência de variedades

- Uma exaustão de uma variedade \mathcal{M} é uma sequência de abertos $(U_k)_{k \in \mathbb{N}}$ tais que $\overline{U_k}$ é compacto, $\overline{U_k} \subset U_{k+1} \forall k$ e $\bigcup_{k \in \mathbb{N}} U_k = \mathcal{M}$.
- Em particular, se $K \subset \mathcal{M}$ é um subconjunto compacto, existe $n_0 \in \mathbb{N}$ tal que $K \subset U_n$, seja qual for $n \geq n_0$. Consequentemente, se \mathcal{M} é compacta então $U_n = \mathcal{M}$ para todo n suficientemente grande.

Convergência de variedades

Diremos que uma sequência $(\mathcal{M}_i, g_i, p_i)$ de variedades Riemannianas completas marcadas *converge* (suavemente) à variedade Riemanniana completa e marcada (\mathcal{M}, g, p) conforme $i \rightarrow \infty$ se existirem

- uma sequência de compactos $\Omega_i \subset \mathcal{M}$ que exausta \mathcal{M} satisfazendo $p \in \text{int}(\Omega_i)$ para cada $i \in \mathbb{N}$

tais que

$$\phi_i^* g_i \rightarrow g$$

suavemente conforme $i \rightarrow \infty$, no sentido de que para quaisquer compactos $K \subset \mathcal{M}$, o tensor $\phi_i^* g_i - g$ e todas as suas derivadas covariantes de todas as ordens (com respeito a qualquer conexão inicial fixada) convergem uniformemente a zero em K .

Convergência de variedades

Diremos que uma sequência $(\mathcal{M}_i, g_i, p_i)$ de variedades Riemannianas completas marcadas *converge* (suavemente) à variedade Riemanniana completa e marcada (\mathcal{M}, g, p) conforme $i \rightarrow \infty$ se existirem

- uma sequência de compactos $\Omega_i \subset \mathcal{M}$ que exausta \mathcal{M} satisfazendo $p \in \text{int}(\Omega_i)$ para cada $i \in \mathbb{N}$
- uma sequência de aplicações suaves $\phi_i : \Omega_i \rightarrow \mathcal{M}_i$ que são difeomorfismos sobre suas imagens e satisfazem $\phi_i(p) = p_i$ para cada $i \in \mathbb{N}$

tais que

$$\phi_i^* g_i \rightarrow g$$

suavemente conforme $i \rightarrow \infty$, no sentido de que para quaisquer compactos $K \subset \mathcal{M}$, o tensor $\phi_i^* g_i - g$ e todas as suas derivadas covariantes de todas as ordens (com respeito a qualquer conexão inicial fixada) convergem uniformemente a zero em K .

- Em particular, se \mathcal{M} for compacta, \mathcal{M}_i é difeomorfa a \mathcal{M} (a priori teríamos que \mathcal{M} é difeomorfa somente à sua imagem por ϕ_i , mas como cada ϕ_i é um difeomorfismo e \mathcal{M} é trivialmente simultaneamente aberta e fechada em \mathcal{M} , suas imagens são simultaneamente abertas e fechadas em \mathcal{M}_i , e portanto no caso em que \mathcal{M} é compacta, \mathcal{M} é difeomorfa a $\text{img}(\phi_i) = \mathcal{M}_i$).

Convergência de variedades

Pode-se provar que duas consequências da convergência $(\mathcal{M}_i, g_i, p_i) \rightarrow (\mathcal{M}, g, p)$ são que

- para qualquer $s > 0$ e $k \in \{0\} \cup \mathbb{N}$,

$$\sup_{i \in \mathbb{N}} \sup_{B_{g_i}(p_i, s)} \|\nabla^k \text{Rm}(g_i)\| < \infty$$

Convergência de variedades

Pode-se provar que duas consequências da convergência $(\mathcal{M}_i, g_i, p_i) \rightarrow (\mathcal{M}, g, p)$ são que

- para qualquer $s > 0$ e $k \in \{0\} \cup \mathbb{N}$,

$$\sup_{i \in \mathbb{N}} \sup_{B_{g_i}(p_i, s)} \|\nabla^k \text{Rm}(g_i)\| < \infty$$

-

$$\inf_{i \in \mathbb{N}} \text{inj}(\mathcal{M}_i, g_i, p_i) > 0$$

Convergência de variedades

Pode-se provar que duas consequências da convergência $(\mathcal{M}_i, g_i, p_i) \rightarrow (\mathcal{M}, g, p)$ são que

- para qualquer $s > 0$ e $k \in \{0\} \cup \mathbb{N}$,

$$\sup_{i \in \mathbb{N}} \sup_{B_{g_i}(p_i, s)} \|\nabla^k \text{Rm}(g_i)\| < \infty$$

-

$$\inf_{i \in \mathbb{N}} \text{inj}(\mathcal{M}_i, g_i, p_i) > 0$$

- Na verdade, as condições acima são suficientes para subconvergência.

“Arzelà-Ascoli” para convergência de Cheeger-Gromov

Suponha que $(\mathcal{M}_i, g_i, p_i)$ é uma sequência de variedades Riemannianas completas e marcadas (todas com a mesma dimensão n) satisfazendo as duas condições anteriores. Então existe uma variedade Riemanniana completa e marcada (\mathcal{M}, g, p) (também de dimensão n) tal que após passar a uma subsequência em i ,

$$(\mathcal{M}_i, g_i, p_i) \rightarrow (\mathcal{M}, g, p)$$

Convergência de variedades

As seguintes estimativas nos garantem metade do que precisamos para lidar com o caso de curvatura de Ricci inicial positiva:

Estimativas BBS

Suponha que $M > 0$ é uma constante e que $g(t)$ é um fluxo de Ricci numa variedade fechada \mathcal{M}^n , onde $t \in [0, M^{-1}]$. Então para qualquer $k \in \mathbb{N}$, existe uma constante $C = C(n, k)$ tal que se $\|\text{Rm}\| \leq M$ em $\mathcal{M} \times [0, M^{-1}]$, então para qualquer $t \in [0, M^{-1}]$, vale

$$\|\nabla^k \text{Rm}\| \leq \frac{CM}{t^{\frac{k}{2}}}$$

A estimativa no raio de injetividade também é satisfeita (veja ?).

- Considere $(\mathcal{M}_i, g_i(t))$ uma sequência de famílias suaves de variedades Riemannianas completas para $t \in (a, b)$, onde $-\infty \leq a < 0 < b \leq \infty$, $p_i \in \mathcal{M}_i$ pontos de \mathcal{M}_i para cada i , $(\mathcal{M}, g(t))$ uma família suave de variedades Riemannianas completas e $p \in \mathcal{M}$ um ponto de \mathcal{M} .

Convergência e compacidade de fluxos

- Considere $(\mathcal{M}_i, g_i(t))$ uma sequência de famílias suaves de variedades Riemannianas completas para $t \in (a, b)$, onde $-\infty \leq a < 0 < b \leq \infty$, $p_i \in \mathcal{M}_i$ pontos de \mathcal{M}_i para cada i , $(\mathcal{M}, g(t))$ uma família suave de variedades Riemannianas completas e $p \in \mathcal{M}$ um ponto de \mathcal{M} .
- Diremos que

$$(\mathcal{M}_i, g_i(t), p_i) \rightarrow (\mathcal{M}, g(t), p)$$

conforme $i \rightarrow \infty$ se existirem:

Convergência e compacidade de fluxos

- uma sequência de compactos $\Omega_i \subset \mathcal{M}$ que exausta \mathcal{M} e satisfaz $p \in \text{int}(\Omega_i)$ para cada i

tais que

$$\phi_i^* g_i(t) \rightarrow g(t)$$

conforme $i \rightarrow \infty$ no sentido de que $\phi_i^* g_i(t) - g(t)$ e suas derivadas de todas as ordens (onde aqui nos referimos tanto às derivadas com respeito ao tempo quanto às derivadas covariantes espaciais com respeito a qualquer conexão inicial fixada) convergem uniformemente a zero em todo subconjunto compacto de $\mathcal{M} \times (a, b)$.

Convergência e compacidade de fluxos

- uma sequência de compactos $\Omega_i \subset \mathcal{M}$ que exausta \mathcal{M} e satisfaz $p \in \text{int}(\Omega_i)$ para cada i
- uma sequência de aplicações suaves $\phi_i : \Omega_i \rightarrow \mathcal{M}_i$ que são difeomorfismos sobre suas imagens e satisfazem $\phi_i(p) = p_i$

tais que

$$\phi_i^* g_i(t) \rightarrow g(t)$$

conforme $i \rightarrow \infty$ no sentido de que $\phi_i^* g_i(t) - g(t)$ e suas derivadas de todas as ordens (onde aqui nos referimos tanto às derivadas com respeito ao tempo quanto às derivadas covariantes espaciais com respeito a qualquer conexão inicial fixada) convergem uniformemente a zero em todo subconjunto compacto de $\mathcal{M} \times (a, b)$.

Convergência e compacidade de fluxos

Seja \mathcal{M}_i uma sequência de variedades de dimensão n , e sejam $p_i \in \mathcal{M}_i$ pontos de \mathcal{M}_i para cada i . Suponha que $g_i(t)$ é uma sequência de fluxos de Ricci completos em \mathcal{M}_i para $t \in (a, b)$, onde $-\infty \leq a < 0 < b \leq \infty$. Suponha que

•

$$\sup_{i \in \mathbb{N}} \sup_{\substack{x \in \mathcal{M}_i \\ t \in (a, b)}} \|\text{Rm}(g_i(t))\|(x) < \infty; \text{ e}$$

Então existe uma variedade \mathcal{M} de dimensão n , um fluxo de Ricci completo $g(t)$ em \mathcal{M} para $t \in (a, b)$, e um ponto $p \in \mathcal{M}$ tal que, após passar a uma subsequência em i , vale

$$(\mathcal{M}_i, g_i(t), p_i) \rightarrow (\mathcal{M}, g(t), p)$$

conforme $i \rightarrow \infty$.

Convergência e compacidade de fluxos

Seja \mathcal{M}_i uma sequência de variedades de dimensão n , e sejam $p_i \in \mathcal{M}_i$ pontos de \mathcal{M}_i para cada i . Suponha que $g_i(t)$ é uma sequência de fluxos de Ricci completos em \mathcal{M}_i para $t \in (a, b)$, onde $-\infty \leq a < 0 < b \leq \infty$. Suponha que

•

$$\sup_{i \in \mathbb{N}} \sup_{\substack{x \in \mathcal{M}_i \\ t \in (a, b)}} \|\text{Rm}(g_i(t))\|(x) < \infty; \text{ e}$$

•

$$\inf_{i \in \mathbb{N}} \text{inj}(\mathcal{M}_i, g_i(0), p_i) > 0$$

Então existe uma variedade \mathcal{M} de dimensão n , um fluxo de Ricci completo $g(t)$ em \mathcal{M} para $t \in (a, b)$, e um ponto $p \in \mathcal{M}$ tal que, após passar a uma subsequência em i , vale

$$(\mathcal{M}_i, g_i(t), p_i) \rightarrow (\mathcal{M}, g(t), p)$$

conforme $i \rightarrow \infty$.

Os limites inflacionários

- Estamos interessados em aplicar os teoremas vistos anteriormente para analisar mudanças de escala de fluxos de Ricci perto de suas singularidades. Seja $(\mathcal{M}, g(t))$ uma solução do fluxo de Ricci com \mathcal{M} fechada no intervalo maximal $[0, T)$. Já vimos que

$$\sup_{x \in \mathcal{M}} \|\text{Rm}\|(x, t) \rightarrow \infty$$

conforme $t \uparrow T$.

Os limites inflacionários

- Estamos interessados em aplicar os teoremas vistos anteriormente para analisar mudanças de escala de fluxos de Ricci perto de suas singularidades. Seja $(\mathcal{M}, g(t))$ uma solução do fluxo de Ricci com \mathcal{M} fechada no intervalo maximal $[0, T)$. Já vimos que

$$\sup_{x \in \mathcal{M}} \|\text{Rm}\|(x, t) \rightarrow \infty$$

conforme $t \uparrow T$.

- Tomaremos pontos (p_i, t_i) que maximizem $\|\text{Rm}\|$ no compacto $\mathcal{M} \times [0, T - \frac{1}{i}]$, ou seja

$$\|\text{Rm}\|(p_i, t_i) = \sup_{\substack{x \in \mathcal{M} \\ t \in [0, t_i]}} \|\text{Rm}\|(x, t)$$

- Em particular, $\|\text{Rm}\|(p_i, t_i) \rightarrow \infty$ conforme $i \rightarrow \infty$. Definiremos fluxos re-escalados (e transladados) $g_i(t)$ por

$$g_i(t) = \|\text{Rm}\|(p_i, t_i) g \left(t_i + \frac{t}{\|\text{Rm}\|(p_i, t_i)} \right)$$

- Em particular, $\|\text{Rm}\|(p_i, t_i) \rightarrow \infty$ conforme $i \rightarrow \infty$. Definiremos fluxos re-escalados (e transladados) $g_i(t)$ por

$$g_i(t) = \|\text{Rm}\|(p_i, t_i) g \left(t_i + \frac{t}{\|\text{Rm}\|(p_i, t_i)} \right)$$

- Tais fluxos estão definidos nos intervalos

$$-t_i \|\text{Rm}\|(p_i, t_i) \leq t \leq (T - t_i) \|\text{Rm}\|(p_i, t_i)$$

Além disso, para cada i , temos $\|\text{Rm}_{g_i(0)}\|(p_i) = 1$.

O limite inflacionário de singularidades

Suponha que \mathcal{M}^n é uma variedade fechada, e $g(t)$ é um fluxo de Ricci num intervalo maximal $[0, T)$ com $T < \infty$. Então existem seqüências $p_i \in \mathcal{M}$ e $t_i \uparrow T$ satisfazendo

$$\|\text{Rm}\|(p_i, t_i) = \sup_{\substack{x \in \mathcal{M} \\ t \in [0, t_i]}} \|\text{Rm}\|(x, t) \rightarrow \infty$$

tais que, definindo

$$g_i(t) = \|\text{Rm}\|(p_i, t_i) g \left(t_i + \frac{t}{\|\text{Rm}\|(p_i, t_i)} \right)$$

existem $b = b(n) > 0$, um fluxo de Ricci completo $(\mathcal{N}, \hat{g}(t))$ definido em $t \in (-\infty, b)$, e $p_\infty \in \mathcal{N}$ tal que $(\mathcal{M}, g_i(t), p_i) \rightarrow (\mathcal{N}, \hat{g}(t), p_\infty)$ conforme $i \rightarrow \infty$. Além disso, $\|\text{Rm}_{\hat{g}(0)}\|(p_\infty) = 1$, e $\|\text{Rm}_{\hat{g}(t)}\| \leq 1$ seja qual for $t \leq 0$.

Os tensores de tipo curvatura

Um tensor de tipo curvatura em um espaço vetorial \mathbb{V} é um tensor $R \in \mathcal{T}_4^0(\mathbb{V})$ satisfazendo as simetrias:

- $R(x, y, z, w) = -R(y, x, z, w) = -R(x, y, w, z)$

sejam quais forem $x, y, z, w \in \mathbb{V}$. Denotaremos o espaço vetorial de todos os tensores de tipo curvatura em \mathbb{V} por $\mathcal{R}(\mathbb{V})$.

Os tensores de tipo curvatura

Um tensor de tipo curvatura em um espaço vetorial \mathbb{V} é um tensor $R \in \mathcal{T}_4^0(\mathbb{V})$ satisfazendo as simetrias:

- $R(x, y, z, w) = -R(y, x, z, w) = -R(x, y, w, z)$
- $R(x, y, z, \cdot) + R(y, z, x, \cdot) + R(z, x, y, \cdot) = 0$

sejam quais forem $x, y, z, w \in \mathbb{V}$. Denotaremos o espaço vetorial de todos os tensores de tipo curvatura em \mathbb{V} por $\mathcal{R}(\mathbb{V})$.

Os tensores de tipo curvatura

- Em uma variedade Riemanniana (\mathcal{M}^n, g) , definimos o fibrado de tensores de tipo curvatura em \mathcal{M}^n como

$$\mathcal{R}(T\mathcal{M}) \doteq \bigcup_{p \in \mathcal{M}} \mathcal{R}(T_p\mathcal{M})$$

Os tensores de tipo curvatura

- Em uma variedade Riemanniana (\mathcal{M}^n, g) , definimos o fibrado de tensores de tipo curvatura em \mathcal{M}^n como

$$\mathcal{R}(T\mathcal{M}) \doteq \bigcup_{p \in \mathcal{M}} \mathcal{R}(T_p\mathcal{M})$$

- Seja $R \in \mathcal{R}(\mathbb{V})$. A *contração de Ricci* de R é o tensor $\text{RICC}(R) \in \mathcal{T}_2^0(\mathbb{V})$ dado por $\text{RICC}(R) \doteq \text{tr}_{1,4}(R)$. A *curvatura escalar* de R é o número $\text{SC}(R) \doteq \text{tr}_{1,2}(\text{RICC}(R))$.

Os tensores de tipo curvatura

- Em uma variedade Riemanniana (\mathcal{M}^n, g) , definimos o fibrado de tensores de tipo curvatura em \mathcal{M}^n como

$$\mathcal{R}(T\mathcal{M}) \doteq \bigcup_{p \in \mathcal{M}} \mathcal{R}(T_p\mathcal{M})$$

- Seja $R \in \mathcal{R}(\mathbb{V})$. A *contração de Ricci* de R é o tensor $\text{RICC}(R) \in \mathcal{T}_2^0(\mathbb{V})$ dado por $\text{RICC}(R) \doteq \text{tr}_{1,4}(R)$. A *curvatura escalar* de R é o número $\text{SC}(R) \doteq \text{tr}_{1,2}(\text{RICC}(R))$.
- Seja $R \in \mathcal{R}(\mathbb{V})$. O *tensor de Einstein* de R é o tensor $E(R) \in \mathcal{S}(\mathbb{V})$ definido por

$$E(R) = \text{RICC}(R) - \frac{\text{SC}(R)}{n}g$$

- O *tensor de Schouten* de R é $h(R) \in \mathcal{S}(\mathbb{V})$ dado por

$$h(R) = \text{RICC}(R) - \frac{\text{SC}(R)}{2(n-1)}g$$

Os tensores de tipo curvatura

- O *tensor de Schouten* de R é $h(R) \in \mathcal{S}(\mathbb{V})$ dado por

$$h(R) = \text{RICC}(R) - \frac{\text{SC}(R)}{2(n-1)}g$$

- O *tensor de Weyl* de R é $W(R) \in \mathcal{R}(\mathbb{V})$ dado (quando $n > 2$) por

$$W(R) = R - \frac{2}{n-2}(g \otimes h(R))$$

Os tensores de tipo curvatura

- O *tensor de Schouten* de R é $h(R) \in \mathcal{S}(\mathbb{V})$ dado por

$$h(R) = \text{RICC}(R) - \frac{\text{SC}(R)}{2(n-1)}g$$

- O *tensor de Weyl* de R é $W(R) \in \mathcal{R}(\mathbb{V})$ dado (quando $n > 2$) por

$$W(R) = R - \frac{2}{n-2}(g \otimes h(R))$$

- Definiremos também $\mathcal{W}(\mathbb{V}) = \{W \in \mathcal{R}(\mathbb{V}) \mid \text{RICC}(W) = 0\}$.

- Denotaremos por $\mathcal{S}(\mathbb{V})$ o espaço de todos os tensores simétricos de tipo $(0, 2)$ em \mathbb{V} .

- Denotaremos por $\mathcal{S}(\mathbb{V})$ o espaço de todos os tensores simétricos de tipo $(0, 2)$ em \mathbb{V} .
- Vamos também fixar a notação

$$g \otimes \mathcal{S}(\mathbb{V}) \doteq \{g \otimes T \in \mathcal{R}(\mathbb{V}) \mid T \in \mathcal{S}(\mathbb{V})\}$$

e

$$g \otimes \mathcal{S}(\mathbb{V})_0 \doteq \{g \otimes T \in \mathcal{R}(\mathbb{V}) \mid T \in \mathcal{S}(\mathbb{V}) \text{ satisfaz } \text{tr}_{1,2}(T) = 0\}$$

Decomposição do fibrado de tensores de tipo curvatura

Em geral, temos a seguinte decomposição:

Decompondo tensores de tipo curvatura

Seja (\mathcal{M}^n, g) uma variedade Riemanniana de dimensão n . Então $\mathcal{R}(T\mathcal{M})$ admite a seguinte decomposição ortogonal:

$$\mathcal{R}(T\mathcal{M}) = \mathbb{R}(g \otimes g) \oplus (g \otimes \mathcal{S}(T\mathcal{M})_0) \oplus \mathcal{W}(T\mathcal{M})$$

A fortiori, a decomposição explícita do tensor curvatura de \mathcal{M} é dada por:

$$\text{Rm} = \frac{\text{Scal}}{n(n-1)}(g \otimes g) + \frac{2}{n-2}(g \otimes E) + W$$

- Em geral,

$$\text{Rm} = \frac{\text{Scal}}{n(n-1)}(g \otimes g) + \frac{2}{n-2}(g \otimes E) + W$$

Determinação de Rm por Ric

- Em geral,

$$Rm = \frac{Scal}{n(n-1)}(g \otimes g) + \frac{2}{n-2}(g \otimes E) + W$$

- Pela sua construção, o tensor de Weyl tem as mesmas simetrias do tensor de curvatura Riemanniano e todos os seus traços se anulam. Usando tais observações, é simples mostrar que o tensor de Weyl é identicamente nulo em dimensão ≤ 3 . Portanto, em dimensão ≤ 3 , Ric determina completamente Rm .

O truque de Uhlenbeck

Para cada $x \in \mathcal{M}$, podemos considerar a solução (que é única e existe enquanto o fluxo de Ricci existir) $e_a(x, t)$ do seguinte sistema de 3 EDO's:

$$\begin{aligned}\frac{\partial}{\partial t} e_a(x, t) &= \text{Ric}_{g(t)}(e_a(x, t)) \\ e_a(x, 0) &= e_a^0\end{aligned}$$

Um cálculo direto mostra que

$$\frac{\partial}{\partial t} g(t)(e_a(t), e_b(t)) = 0$$

de forma que $\{e_a(t)\}_{1 \leq a \leq 3}$ permanece um referencial global ortonormal ao longo do fluxo.

O truque de Uhlenbeck

Considere agora o fibrado trivial $F = \mathcal{M} \times \mathbb{R}^3$ com a métrica Euclidiana usual h nas fibras. Temos então isometrias de fibrados

$$\iota(t) : (E, h) \rightarrow (T\mathcal{M}, g(t))$$

definidas por

$$\iota(t)(x, \mathbf{v} = (v^1, v^2, v^3)) = \sum_{a=1}^3 v^a e_a(x, t)$$

Note que $\iota(t)^*(e_a(x, t)) = \mathbf{e}_a$, onde $\{\mathbf{e}_a\}_{1 \leq a \leq 3}$ denota a base Euclidiana usual, e portanto $g(t)(e_a(t), e_b(t)) = h(\mathbf{e}_a, \mathbf{e}_b) = \delta_{ab}$.

O truque de Uhlenbeck

- Podemos então considerar isomorfismos de fibrados $\iota(t) : E \rightarrow T\mathcal{M}$ que resolvem a EDO:

$$\begin{aligned}\frac{\partial}{\partial t} \iota(t) &= \text{Ric}_{g(t)} \circ \iota(t) \\ \iota(0) &= \iota_0\end{aligned}$$

O truque de Uhlenbeck

- Podemos então considerar isomorfismos de fibrados $\iota(t) : E \rightarrow T\mathcal{M}$ que resolvem a EDO:

$$\begin{aligned}\frac{\partial}{\partial t} \iota(t) &= \text{Ric}_{g(t)} \circ \iota(t) \\ \iota(0) &= \iota_0\end{aligned}$$

- Um cálculo simples mostra que

$$\frac{\partial}{\partial t} ((\iota^* g)(X, Y)) = 0, \quad \forall X, Y \in \Gamma(T\mathcal{M})$$

de forma que $(\iota(t))^*(g(t))$ é temporalmente constante e portanto é igual a $\iota^*(g(0))$ enquanto o fluxo existe.

O truque de Uhlenbeck

- No contexto fornecido pelo truque de Uhlenbeck, é possível mostrar que a equação de evolução do operador curvatura \mathbb{M} associado a Rm se escreve como

$$\left(\frac{\partial}{\partial t} - \Delta\right)\mathbb{M} = \mathbb{M}^2 + \mathbb{M}^\#$$

O truque de Uhlenbeck

- No contexto fornecido pelo truque de Uhlenbeck, é possível mostrar que a equação de evolução do operador curvatura \mathbb{M} associado a Rm se escreve como

$$\left(\frac{\partial}{\partial t} - \Delta\right)\mathbb{M} = \mathbb{M}^2 + \mathbb{M}^\#$$

- Em dimensão 3, os elementos de $\Lambda^2(\mathcal{M})$ são todos decomponíveis, o que nos dá uma maneira concreta e simples de expressar $\mathbb{M}^2 + \mathbb{M}^\#$. Diagonalizando \mathbb{M} , id est, escolhendo uma base ortonormal $\{\varphi^\alpha\}$ de $\Lambda^2(\mathcal{M})$ tal que

$$\left(\mathbb{M}(\varphi^\alpha, \varphi^\beta)\right)_{1 \leq \alpha, \beta \leq 3} = \begin{pmatrix} \lambda & 0 & 0 \\ 0 & \mu & 0 \\ 0 & 0 & \nu \end{pmatrix}$$

- onde (sem perda de generalidade) $\lambda \geq \mu \geq \nu$, vemos que a matriz $((M^2 + M^\#)(\varphi^\alpha, \varphi^\beta))_{1 \leq \alpha, \beta \leq 3}$ também é diagonal, e satisfaz

$$((M^2 + M^\#)(\varphi^\alpha, \varphi^\beta))_{1 \leq \alpha, \beta \leq 3} = \begin{pmatrix} \lambda^2 + \mu\nu & 0 & 0 \\ 0 & \mu^2 + \lambda\nu & 0 \\ 0 & 0 & \nu^2 + \lambda\mu \end{pmatrix}$$

O truque de Uhlenbeck

- Podemos também identificar \mathbb{M} com a matriz (\mathbb{M}_{pq}) determinada em cada fibra $\Lambda^2(T_x\mathcal{M}^3)$ do fibrado $\Lambda^2(\mathcal{M}^3)$ por

$$\langle \text{Rm}(e_i, e_j)e_k, e_\ell \rangle = \sum_{p,q} \mathbb{M}_{pq} C_{ij}^p C_{\ell k}^q$$

Uma vez que $\lambda = \mathbb{M}_{11}$, $\mu = \mathbb{M}_{22}$ e $\nu = \mathbb{M}_{33}$, temos então

$$\lambda = 2 \cdot \text{Rm}_{2323}$$

$$\mu = 2 \cdot \text{Rm}_{1313}$$

$$\nu = 2 \cdot \text{Rm}_{1212}$$

ou seja, os autovalores correspondem ao dobro das curvaturas seccionais.

- A análise da evolução de \mathbb{M} pode ser feita ao descartarmos o termo do laplaciano, ou seja, ao considerarmos (para cada $x \in \mathcal{M}$ fixado) a EDO para $\mathbf{R}(t) : \Lambda^2(\mathcal{M}) \rightarrow \Lambda^2(\mathcal{M})$ definida por

$$\frac{\partial}{\partial t} \mathbf{R} = \mathbf{R}^2 + \mathbf{R}^\#$$

- A análise da evolução de \mathbb{M} pode ser feita ao descartarmos o termo do laplaciano, ou seja, ao considerarmos (para cada $x \in \mathcal{M}$ fixado) a EDO para $\mathbf{R}(t) : \Lambda^2(\mathcal{M}) \rightarrow \Lambda^2(\mathcal{M})$ definida por

$$\frac{\partial}{\partial t} \mathbf{R} = \mathbf{R}^2 + \mathbf{R}^\#$$

- Denotando os autovalores de \mathbf{R} da mesma maneira que os de \mathbb{M} , vemos que tal EDO é equivalente ao sistema

$$\begin{aligned} \frac{\partial \lambda}{\partial t} &= \lambda^2 + \mu\nu \\ \frac{\partial \mu}{\partial t} &= \mu^2 + \lambda\nu \\ \frac{\partial \nu}{\partial t} &= \nu^2 + \lambda\mu \end{aligned}$$

Em particular, $\mathbb{M}(t)$ permanece diagonal.

O truque de Uhlenbeck

Além disso, como

$$\begin{aligned}\frac{\partial}{\partial t}(\lambda - \mu) &= (\lambda - \mu)(\lambda + \mu - \nu) \\ \frac{\partial}{\partial t}(\mu - \nu) &= (\mu - \nu)(-\lambda + \mu + \nu)\end{aligned}$$

a desigualdade $\lambda(0) \geq \mu(0) \geq \nu(0)$ também é preservada, ou seja, $\lambda(t) \geq \mu(t) \geq \nu(t)$. Note também que

$$\begin{aligned}\text{Ric}_{11} &= \text{Rm}_{1212} + \text{Rm}_{1313} = \frac{1}{2}(\mu + \nu) \\ \text{Ric}_{22} &= \text{Rm}_{2121} + \text{Rm}_{2323} = \frac{1}{2}(\lambda + \nu) \\ \text{Ric}_{33} &= \text{Rm}_{3232} + \text{Rm}_{3131} = \frac{1}{2}(\lambda + \mu)\end{aligned}$$

Portanto

$$\text{Ric} = \frac{1}{2} \begin{pmatrix} \mu + \nu & 0 & 0 \\ 0 & \lambda + \nu & 0 \\ 0 & 0 & \lambda + \mu \end{pmatrix}$$

donde vem também

$$\text{Scal} = \text{tr}(\text{Ric}) = \lambda + \mu + \nu$$

Controle em dimensão 3

Para quaisquer constantes $0 < \beta < B < \infty$ constantes tais que

$$\beta g(0) \leq \text{Ric}_{g(0)} \leq Bg(0)$$

existem constantes $A = A(\beta, B) > 0$ e $\theta \in \left(\frac{1}{2}, 1\right)$ tal que

$$\lambda - \nu \leq A(\lambda + \mu)^\theta$$

e tal desigualdade é preservada pelo fluxo de Ricci.

“Arredondamento” em dimensão 3

Controle da curvatura

Para quaisquer constantes $0 < \beta < B < \infty$ tais que

$$\beta g_0 \leq \text{Ric}_{g(0)} \leq B g_0$$

e para qualquer $\varepsilon > 0$, existe uma constante $C_\varepsilon = C(\beta, B, \varepsilon)$ tal que

$$\left\| \text{Ric} - \frac{1}{3} \text{Scal} \cdot g \right\|_{g(t)} \leq \varepsilon \cdot \text{Scal}_{g(t)} + C_\varepsilon$$

A primeira classificação em dimensão 3

Seja (\mathcal{M}^3, g_0) uma 3-variedade Riemanniana com curvatura de Ricci positiva. Então o fluxo de Ricci $g(t)$ de \mathcal{M} definido num intervalo maximal $[0, T)$ se arredonda no seguinte sentido: existem

- uma métrica g_∞ em \mathcal{M} de curvatura seccional constante e positiva,

tal que ao definirmos novos fluxos de Ricci $g_i(t)$ para $t \leq 0$ por

$$g_i(t) = \|\text{Rm}\|(p_i, t_i) \cdot g \left(t_i + \frac{t}{\|\text{Rm}\|(p_i, t_i)} \right)$$

então

$$(\mathcal{M}, g_i(t), p_i) \rightarrow (\mathcal{M}, (c - t)g_\infty, p_\infty)$$

A primeira classificação em dimensão 3

Seja (\mathcal{M}^3, g_0) uma 3-variedade Riemanniana com curvatura de Ricci positiva. Então o fluxo de Ricci $g(t)$ de \mathcal{M} definido num intervalo maximal $[0, T)$ se arredonda no seguinte sentido: existem

- uma métrica g_∞ em \mathcal{M} de curvatura seccional constante e positiva,
- uma sequência $\{t_i\}_{i \in \mathbb{N}}$ tal que $t_i \uparrow T$,

tal que ao definirmos novos fluxos de Ricci $g_i(t)$ para $t \leq 0$ por

$$g_i(t) = \|\text{Rm}\|(p_i, t_i) \cdot g \left(t_i + \frac{t}{\|\text{Rm}\|(p_i, t_i)} \right)$$

então

$$(\mathcal{M}, g_i(t), p_i) \rightarrow (\mathcal{M}, (c - t)g_\infty, p_\infty)$$

A primeira classificação em dimensão 3

Seja (\mathcal{M}^3, g_0) uma 3-variedade Riemanniana com curvatura de Ricci positiva. Então o fluxo de Ricci $g(t)$ de \mathcal{M} definido num intervalo maximal $[0, T)$ se arredonda no seguinte sentido: existem

- uma métrica g_∞ em \mathcal{M} de curvatura seccional constante e positiva,
- uma sequência $\{t_i\}_{i \in \mathbb{N}}$ tal que $t_i \uparrow T$,
- um ponto $p_\infty \in \mathcal{M}$ e uma sequência $\{p_i\}_{i \in \mathbb{N}} \subset \mathcal{M}$,

tal que ao definirmos novos fluxos de Ricci $g_i(t)$ para $t \leq 0$ por

$$g_i(t) = \|\text{Rm}\|(p_i, t_i) \cdot g \left(t_i + \frac{t}{\|\text{Rm}\|(p_i, t_i)} \right)$$

então

$$(\mathcal{M}, g_i(t), p_i) \rightarrow (\mathcal{M}, (c - t)g_\infty, p_\infty)$$

Demonstração

- Usando os teoremas vistos anteriormente, obtemos uma constante $b > 0$, sequências $\{p_i\}_{i \in \mathbb{N}} \subset \mathcal{M}$, $\{t_i \uparrow T\}_{i \in \mathbb{N}}$, fluxos por mudanças de escalas $g_i(t)$ e (para $t \in (-\infty, b)$) um limite do fluxo de Ricci $(\mathcal{N}, \hat{g}(t))$ com um ponto base $p_\infty \in \mathcal{N}$. Como também já vimos, para quaisquer $t \in [0, T)$ e $\varepsilon > 0$, vale

$$\left\| \text{Ric} - \frac{1}{3} \text{Scal} \cdot g \right\|_{g(t)} \leq \varepsilon \cdot \text{Scal}_{g(t)} + C_\varepsilon$$

Demonstração

- Usando os teoremas vistos anteriormente, obtemos uma constante $b > 0$, seqüências $\{p_i\}_{i \in \mathbb{N}} \subset \mathcal{M}$, $\{t_i \uparrow T\}_{i \in \mathbb{N}}$, fluxos por mudanças de escalas $g_i(t)$ e (para $t \in (-\infty, b)$) um limite do fluxo de Ricci $(\mathcal{N}, \hat{g}(t))$ com um ponto base $p_\infty \in \mathcal{N}$. Como também já vimos, para quaisquer $t \in [0, T)$ e $\varepsilon > 0$, vale

$$\left\| \text{Ric} - \frac{1}{3} \text{Scal} \cdot g \right\|_{g(t)} \leq \varepsilon \cdot \text{Scal}_{g(t)} + C_\varepsilon$$

- Uma vez que $g_i(t)$ difere de $g(t)$ somente por uma translação temporal e uma mudança de escala, então com respeito a $g_i(0)$ vale que

$$\left\| \text{Ric} - \frac{1}{3} \text{Scal} \cdot g_i(0) \right\|_{g_i(0)} \leq \varepsilon \cdot \text{Scal}_{g_i(0)} + \frac{C_\varepsilon}{\|\text{Rm}\|(p_i, t_i)}$$

- Fazendo $i \rightarrow \infty$, obtemos

$$\left\| \text{Ric} - \frac{1}{3} \text{Scal} \cdot g_i(0) \right\|_{\hat{g}(0)} \leq \varepsilon \cdot \text{Scal}_{\hat{g}(0)}$$

- Fazendo $i \rightarrow \infty$, obtemos

$$\left\| \text{Ric} - \frac{1}{3} \text{Scal} \cdot g_i(0) \right\|_{\hat{g}(0)} \leq \varepsilon \cdot \text{Scal}_{\hat{g}(0)}$$

- Segue da arbitrariedade de $\varepsilon > 0$ que

$$\text{Ric}_{\hat{g}(0)} - \frac{1}{3} \text{Scal}_{\hat{g}(0)} \cdot \hat{g}(0) \equiv 0$$

e portanto $(\mathcal{N}, \hat{g}(0))$ é uma variedade de Einstein, de forma que $\text{Scal}_{\hat{g}(0)}$ é constante.

- Como $\dim(\mathcal{M}) = 3$, segue que $\hat{g}(0)$ tem curvatura seccional constante.

Demonstração

- Como $\dim(\mathcal{M}) = 3$, segue que $\hat{g}(0)$ tem curvatura seccional constante.
- Uma vez que $\text{Scal}_{g(t)} > 0$, segue que $\text{Scal}_{g_i(t)} > 0$ e portanto $\text{Scal}_{\hat{g}(0)} \geq 0$.

- Como $\dim(\mathcal{M}) = 3$, segue que $\hat{g}(0)$ tem curvatura seccional constante.
- Uma vez que $\text{Scal}_{g(t)} > 0$, segue que $\text{Scal}_{g_i(t)} > 0$ e portanto $\text{Scal}_{\hat{g}(0)} \geq 0$.
- Vemos então que o valor constante que a curvatura seccional de $\hat{g}(0)$ assume é não-negativo. Mas lembrando que $\|\text{Rm}(\hat{g}(0))\|(p_\infty) = 1$, concluimos que na verdade $\hat{g}(0)$ é uma métrica de curvatura seccional estritamente positiva e constante.

- Pelo teorema de Bonnet-Myers, segue que \mathcal{N} é uma variedade fechada. Como já vimos anteriormente, \mathcal{N} é então difeomorfa a \mathcal{M} .

- Pelo teorema de Bonnet-Myers, segue que \mathcal{N} é uma variedade fechada. Como já vimos anteriormente, \mathcal{N} é então difeomorfa a \mathcal{M} .
- Pela unicidade do fluxo, vemos que $\hat{g}(t) = (c - t)g_\infty$, onde g_∞ é um múltiplo positivo de $\hat{g}(0)$ e $c > 0$ é uma constante. Portanto

$$(\mathcal{M}, g_i(t), p_i) \rightarrow (\mathcal{M}, (c - t)g_\infty, p_\infty)$$

como queríamos mostrar.

- Qualquer tensor P de curvatura de tipo $(0, 4)$ determina uma forma bilinear

$$\tilde{P} : \Lambda^2(\mathcal{M}) \times \Lambda^2(\mathcal{M}) \rightarrow \mathcal{C}^\infty(\mathcal{M})$$

ao exigir que localmente $\tilde{P}(\mathbf{e}^i \wedge \mathbf{e}^j, \mathbf{e}^k \wedge \mathbf{e}^\ell) = P_{ijkl}$.

Os operadores de curvatura

- Qualquer tensor P de curvatura de tipo $(0, 4)$ determina uma forma bilinear

$$\tilde{P} : \Lambda^2(\mathcal{M}) \times \Lambda^2(\mathcal{M}) \rightarrow \mathcal{C}^\infty(\mathcal{M})$$

ao exigir que localmente $\tilde{P}(\mathbf{e}^i \wedge \mathbf{e}^j, \mathbf{e}^k \wedge \mathbf{e}^\ell) = P_{ijkl}$.

- Usando a multi-linearidade, podemos determinar \tilde{P} em todo $\Lambda^2(\mathcal{M}) \times \Lambda^2(\mathcal{M})$ usando tal relação

Os operadores de curvatura

- Qualquer tensor P de curvatura de tipo $(0,4)$ determina uma forma bilinear

$$\tilde{P} : \Lambda^2(\mathcal{M}) \times \Lambda^2(\mathcal{M}) \rightarrow \mathcal{C}^\infty(\mathcal{M})$$

ao exigir que localmente $\tilde{P}(\mathbf{e}^i \wedge \mathbf{e}^j, \mathbf{e}^k \wedge \mathbf{e}^\ell) = P_{ijkl}$.

- Usando a multi-linearidade, podemos determinar \tilde{P} em todo $\Lambda^2(\mathcal{M}) \times \Lambda^2(\mathcal{M})$ usando tal relação
- Equivalentemente, podemos exigir que para quaisquer $x, y, v, w \in T_p\mathcal{M}$ valha $\tilde{P}(x \wedge y, v \wedge w) = P(x, y, w, v)$, com $p \in \mathcal{M}$ arbitrário).

- Equivalentemente, a relação:

$$g(\widehat{P}(x \wedge y), v \wedge w) = \widetilde{P}(x \wedge y, v \wedge w) \quad \forall x, y, v, w \in T_p\mathcal{M}, \quad \forall p \in \mathcal{M}$$

determina também um operador $\widehat{P} : \Lambda^2(\mathcal{M}) \rightarrow \Lambda^2(\mathcal{M})$. É simples verificar que \widehat{P} está bem definido (ou seja, $P(\omega) \in \Lambda^2(\mathcal{M})$ para cada $\omega \in \Lambda^2(\mathcal{M})$).

Decomposição pela estrela de Hodge

Seja (\mathcal{M}^4, g) uma variedade Riemanniana orientada de dimensão 4. Então o fibrado $\Lambda^2(\mathcal{M})$ das 2-formas em \mathcal{M} admite a seguinte decomposição de autofibrados \star -invariantes:

$$\Lambda^2(\mathcal{M}) = \Lambda_+^2(\mathcal{M}) \oplus \Lambda_-^2(\mathcal{M})$$

onde $\Lambda_{\pm}^2(\mathcal{M}) = \{\omega \in \Lambda^2(\mathcal{M}) \mid \star\omega = \pm\omega\}$.

- De fato, em dimensão 4 vale $\star^2 = \star \circ \star = \text{Id}$. Portanto um autovalor de \star é necessariamente ± 1 . Note também que dada $\omega \in \Lambda^2(\mathcal{M})$, definindo as 2-formas:

$$\omega^+ = \frac{1}{2}(\omega + \star\omega) \in \Lambda_+^2(\mathcal{M})$$

e

$$\omega^- = \frac{1}{2}(\omega - \star\omega) \in \Lambda_-^2(\mathcal{M})$$

Temos $\omega = \omega^+ + \omega^-$. Finalmente, é óbvio que $\Lambda_+^2(\mathcal{M}) \cap \Lambda_-^2(\mathcal{M}) = \{0\}$, donde segue o resultado desejado.

- De fato, em dimensão 4 vale $\star^2 = \star \circ \star = \text{Id}$. Portanto um autovalor de \star é necessariamente ± 1 . Note também que dada $\omega \in \Lambda^2(\mathcal{M})$, definindo as 2-formas:

$$\omega^+ = \frac{1}{2}(\omega + \star\omega) \in \Lambda_+^2(\mathcal{M})$$

e

$$\omega^- = \frac{1}{2}(\omega - \star\omega) \in \Lambda_-^2(\mathcal{M})$$

Temos $\omega = \omega^+ + \omega^-$. Finalmente, é óbvio que $\Lambda_+^2(\mathcal{M}) \cap \Lambda_-^2(\mathcal{M}) = \{0\}$, donde segue o resultado desejado.

- Elementos de $\Lambda_+^2(\mathcal{M})$ são chamados de auto-duais, enquanto que elementos de $\Lambda_-^2(\mathcal{M})$ são chamados de anti-auto-duais.

Decomposição de Rm

A decomposição em blocos correspondente à decomposição de $\Lambda^2(\mathcal{M})$ via a estrela de Hodge \star do operador de curvatura é dada por

$$\text{Rm} = \left(\begin{array}{c|c} \left(\mathcal{W}^+ + \frac{\mathcal{S}}{12} \right) \Big|_{\Lambda_+^2(\mathcal{M})} & \mathcal{E} \Big|_{\Lambda_-^2(\mathcal{M})} \\ \hline \mathcal{E} \Big|_{\Lambda_+^2(\mathcal{M})} & \left(\mathcal{W}^- + \frac{\mathcal{S}}{12} \right) \Big|_{\Lambda_-^2(\mathcal{M})} \end{array} \right)$$

- Após mudanças de escalas apropriadas, a mesma estratégia utilizada em dimensão 3 pode ser usada para mostrar que uma 4-variedade fechada \mathcal{M}^4 admite uma métrica g_∞ cujo operador de curvatura é dado por

$$\text{Rm} = \begin{pmatrix} 2 \cdot \text{Id} & 0 \\ 0 & 2 \cdot \text{Id} \end{pmatrix}$$

Em particular, Rm é um múltiplo de $g \wedge g$ e portanto \mathcal{M}^4 tem curvatura seccional constante. Em dimensão par as únicas tais variedades são esferas e espaços projetivos.

- Hamilton conjecturou que variedades fechadas de qualquer dimensão com operador de curvatura positivo são formas espaciais. Em [6], Bohm e Wilking confirmaram tal conjectura.

- Hamilton conjecturou que variedades fechadas de qualquer dimensão com operador de curvatura positivo são formas espaciais. Em [6], Bohm e Wilking confirmaram tal conjectura.
- Em 1926, Hopf propôs o seguinte problema:

Em 2007, Simon Brendle e Richard Schoen usaram o fluxo de Ricci para provar que sim.

- Hamilton conjecturou que variedades fechadas de qualquer dimensão com operador de curvatura positivo são formas espaciais. Em [6], Bohm e Wilking confirmaram tal conjectura.
- Em 1926, Hopf propôs o seguinte problema:

Teorema da esfera diferenciável

É verdade que toda variedade Riemanniana com curvaturas seccionais contidas no intervalo $\left(\frac{1}{4}, 1\right]$ é difeomorfa a uma esfera?

Em 2007, Simon Brendle e Richard Schoen usaram o fluxo de Ricci para provar que sim.



[1] mathoverflow

Classification of surfaces and the TOP, DIFF and PL categories for manifolds



[1] mathoverflow

Classification of surfaces and the TOP, DIFF and PL categories for manifolds



[3] B. Chow et al

Hamilton's Ricci Flow



[1] mathoverflow

Classification of surfaces and the TOP, DIFF and PL categories for manifolds



[3] B. Chow et al

Hamilton's Ricci Flow



[4] John W. Morgan

Recent Progress on the Poincaré Conjecture and the Classification of 3-Manifolds



[1] mathoverflow

Classification of surfaces and the TOP, DIFF and PL categories for manifolds



[3] B. Chow et al

Hamilton's Ricci Flow



[4] John W. Morgan

Recent Progress on the Poincaré Conjecture and the Classification of 3-Manifolds



[5] **Chen, Xiuxiong; Lu, Peng; Tian, Gang.** A note on uniformization of Riemann surfaces by Ricci flow. *Proc. Amer. Math. Soc.* **134** (2006), no. 11, 3391–3393. MR2231924



[1] mathoverflow

Classification of surfaces and the TOP, DIFF and PL categories for manifolds



[3] B. Chow et al

Hamilton's Ricci Flow



[4] John W. Morgan

Recent Progress on the Poincaré Conjecture and the Classification of 3-Manifolds



[5] **Chen, Xiuxiong; Lu, Peng; Tian, Gang.** A note on uniformization of Riemann surfaces by Ricci flow. *Proc. Amer. Math. Soc.* **134** (2006), no. 11, 3391–3393. MR2231924



[6] **Böhm, Christoph; Wilking, Burkhard.** Manifolds with positive curvature operators are space forms. *Ann. of Math.* (2) **167** (2008), no. 3, 1079–1097. MR2415394



[7] P. M. Topping, *Lectures on the Ricci flow*. L.M.S. Lecture note series **325**
C.U.P. (2006) <http://www.warwick.ac.uk/maseq/RFnotes.html>



[7] P. M. Topping, *Lectures on the Ricci flow*. L.M.S. Lecture note series **325** C.U.P. (2006) <http://www.warwick.ac.uk/maseq/RFnotes.html>



[8] Huai-Dong Cao, Xi-Ping Zhu. *A Complete Proof of the Poincaré and Geometrization Conjectures - application of the Hamilton-Perelman theory of the Ricci flow*. Asian Journal of Mathematics, 10(2) 165-492 Junho de 2006.



[7] P. M. Topping, *Lectures on the Ricci flow*. L.M.S. Lecture note series **325** C.U.P. (2006) <http://www.warwick.ac.uk/maseq/RFnotes.html>



[8] Huai-Dong Cao, Xi-Ping Zhu. *A Complete Proof of the Poincaré and Geometrization Conjectures - application of the Hamilton-Perelman theory of the Ricci flow*. Asian Journal of Mathematics, 10(2) 165-492 Junho de 2006.



[9] Bennet Chow, Dan. Knopf. *The Ricci Flow: An Introduction*. American Mathematical Society, 2004.

-  [7] P. M. Topping, *Lectures on the Ricci flow*. L.M.S. Lecture note series **325** C.U.P. (2006) <http://www.warwick.ac.uk/maseq/RFnotes.html>
-  [8] Huai-Dong Cao, Xi-Ping Zhu. *A Complete Proof of the Poincaré and Geometrization Conjectures - application of the Hamilton-Perelman theory of the Ricci flow*. Asian Journal of Mathematics, 10(2) 165-492 Junho de 2006.
-  [9] Bennet Chow, Dan. Knopf. *The Ricci Flow: An Introduction*. American Mathematical Society, 2004.
-  [10] R. Hamilton. *Three-Manifolds with Positive Ricci Curvature*. Journal of Differential Geometry 17 (1982), pp. 255–306.

-  [7] P. M. Topping, *Lectures on the Ricci flow*. L.M.S. Lecture note series **325** C.U.P. (2006) <http://www.warwick.ac.uk/maseq/RFnotes.html>
-  [8] Huai-Dong Cao, Xi-Ping Zhu. *A Complete Proof of the Poincaré and Geometrization Conjectures - application of the Hamilton-Perelman theory of the Ricci flow*. Asian Journal of Mathematics, 10(2) 165-492 Junho de 2006.
-  [9] Bennet Chow, Dan. Knopf. *The Ricci Flow: An Introduction*. American Mathematical Society, 2004.
-  [10] R. Hamilton. *Three-Manifolds with Positive Ricci Curvature*. Journal of Differential Geometry 17 (1982), pp. 255–306.
-  [11] R. Hamilton. *Four-Manifolds with Positive Curvature Operator*. Journal of Differential Geometry 24 (1986), pp. 153–179

-  [7] P. M. Topping, *Lectures on the Ricci flow*. L.M.S. Lecture note series **325** C.U.P. (2006) <http://www.warwick.ac.uk/maseq/RFnotes.html>
-  [8] Huai-Dong Cao, Xi-Ping Zhu. *A Complete Proof of the Poincaré and Geometrization Conjectures - application of the Hamilton-Perelman theory of the Ricci flow*. Asian Journal of Mathematics, 10(2) 165-492 Junho de 2006.
-  [9] Bennet Chow, Dan. Knopf. *The Ricci Flow: An Introduction*. American Mathematical Society, 2004.
-  [10] R. Hamilton. *Three-Manifolds with Positive Ricci Curvature*. Journal of Differential Geometry 17 (1982), pp. 255–306.
-  [11] R. Hamilton. *Four-Manifolds with Positive Curvature Operator*. Journal of Differential Geometry 24 (1986), pp. 153–179
-  [12] Jeff. Weeks, *The shape of space*.